

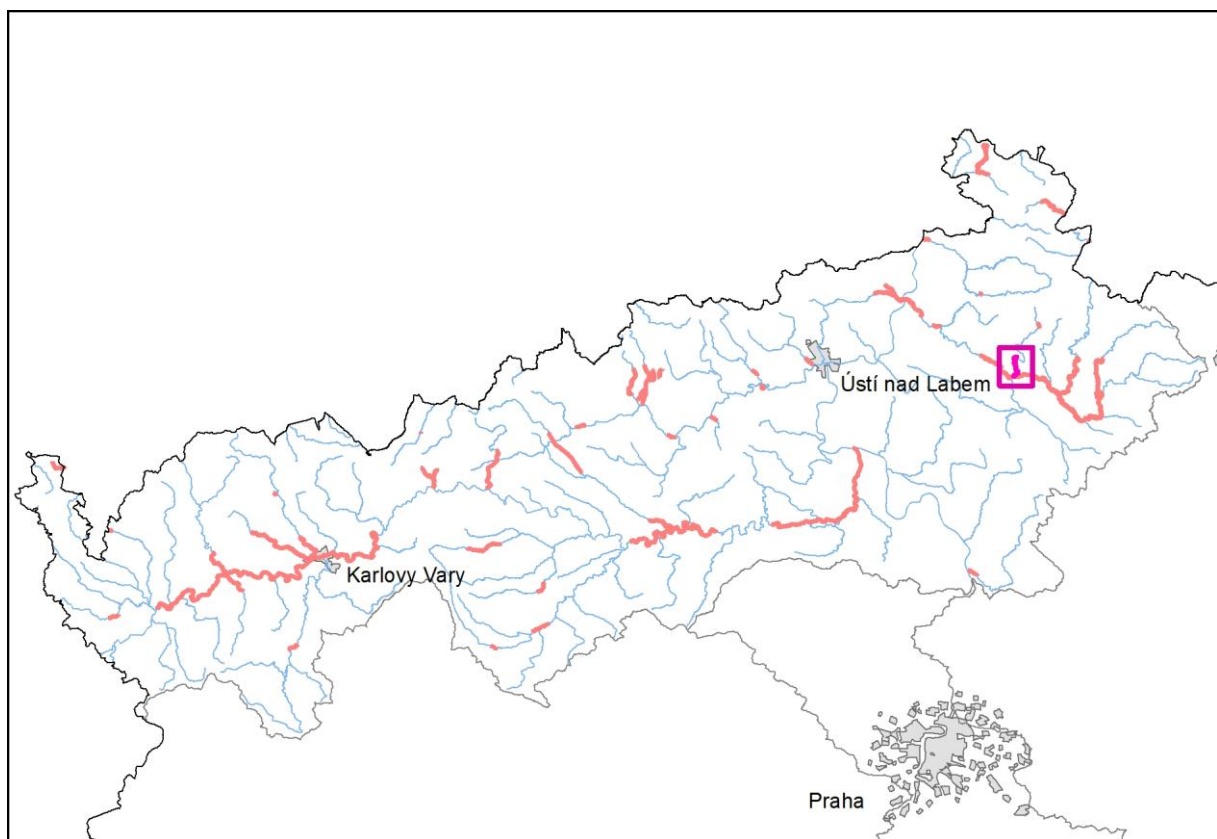


ZPRACOVÁNÍ MAP POVODŇOVÉHO NEBEZPEČÍ A POVODŇOVÝCH RIZIK PRO OBLAST POVODÍ OHŘE A DOLNÍHO LABE

DÍLČÍ POVODÍ OHŘE, DOLNÍHO LABE A OSTATNÍCH PŘÍTOKŮ LABE

B. TECHNICKÁ ZPRÁVA – HYDRODYNAMICKÉ MODELY A MAPY POVODŇOVÉHO NEBEZPEČÍ

ŠPORKA – 10100280_1 - Ř. KM 0,000 – 5,200



listopad 2013

ZPRACOVÁNÍ MAP POVODŇOVÉHO NEBEZPEČÍ A POVODŇOVÝCH RIZIK PRO OBLAST POVODÍ OHŘE A DOLNÍHO LABE

DÍLČÍ POVODÍ OHŘE, DOLNÍHO LABE A OSTATNÍCH PŘÍTOKŮ LABE

B. TECHNICKÁ ZPRÁVA – HYDRODYNAMICKÉ MODELY A MAPY POVODŇOVÉHO NEBEZPEČÍ

ŠPORKA – 10100280_1 - Ř. KM 0,000 – 5,200

Pořizovatel:



Povodí Ohře, státní podnik
Bezručova 4219
Chomutov
430 03

Zhotovitel: sdružení „HYDROPROJEKT + Hydrosoft + AZ Consult“



Sweco Hydroprojekt a.s.
Táborská 31
Praha 4
140 16



HYDROSOFT Velešlavín s.r.o.
U Sadu 13/62
Praha 6
162 00



AZ Consult, spol. s r.o.
Klíšská 12
Ústí nad Labem
400 01

Řešitel:



hydrossoft
Veleslavín

HYDROSOFT Veleslavín s.r.o.
U Sadu 13/62
Praha 6
162 00



SWECO 
Sustainable engineering and design

Sweco Hydroprojekt a.s.
Táborská 31
Praha 4
140 16

V Praze , listopad 2013

Obsah:

1	Základní údaje	7
1.1	Seznam zkratk a symbolů	7
1.2	Cíle prací	7
1.3	Předmět práce	7
1.4	Postup zpracování a metoda řešení	7
2	Popis zájmového území	9
2.1	Všeobecné údaje	10
2.2	Průběhy historických povodní (největší zaznamenané povodně)	10
3	Přehled podkladů	11
3.1	Topologická data	11
3.1.1	Vytvoření (aktualizace) DMT	11
3.1.2	Mapové podklady	11
3.1.3	Geodetické podklady	12
3.2	Hydrologická data	12
3.2.1	Hydrologické poměry a jejich interpretace ve výpočtovém modelu	13
3.3	Místní šetření	13
3.4	Doplňující podklady – technické a provozní informace, zprávy, studie, dokumenty, literatura	14
3.5	Normy, zákony, vyhlášky	14
3.6	Vyhodnocení a příprava podkladů	14
4	Popis koncepčního modelu	15
4.1	Schematizace řešeného problému	15
4.2	Posouzení vlivu nestacionarity proudění	15
4.3	Způsob zadávání OP a PP	15
5	Popis numerického modelu	16
5.1	Použité programové vybavení	16
5.2	Vstupní data numerického modelu	16
5.2.1	Morfologie vodního toku a záplavového území	16
5.2.2	Drsnosti hlavního koryta a inundačních území	17
5.2.3	Hodnoty okrajových podmínek	17
5.2.4	Hodnoty počátečních podmínek	18
5.2.5	Diskuze k nejistotám a úplnosti vstupních dat	18
5.3	Popis kalibrace modelu	18
6	Výstupy z modelu	19
6.1	Záplavové čáry pro průtoky Q_5 , Q_{20} , Q_{100} a Q_{500}	23
6.2	Hloubky pro průtoky Q_5 , Q_{20} , Q_{100} a Q_{500}	23
6.3	Rychlosti pro průtoky Q_5 , Q_{20} , Q_{100} a Q_{500}	23
6.3.1	Bodová vrstva průměrných celoprofilových rychlostí	23

6.3.2	Plošné rozdělení rychlostí v inundaci	24
6.4	Zhodnocení nejistot ve výsledcích výpočtů	24

1 Základní údaje

1.1 Seznam zkratek a symbolů

V následující tabulce č. 1.1 jsou abecedně seřazeny všechny zkratky a symboly použité při zpracování části B, Technická zpráva – hydrodynamické modely a mapy povodňového nebezpečí.

Tab. č. 1.1 Seznam zkratek a symbolů

Zkratka	Vysvětlení
ČHMÚ	Český hydrometeorologický ústav
DMT	Digitální model terénu
DOP	Dolní okrajová podmínka
DPI	Rozlišení dané počtem bodů na jeden palec (2,5 cm)
DMR 4G	Digitální model reliéfu 4.generace
DMR 5G	Digitální model reliéfu 5.generace
GIS	Geografické informační systémy
IDVT CEVT	Identifikátor vodního toku v Centrální evidenci vodních toků
SOP	Studie odtokových poměrů
LG	Limnigraf
ZÚ	Záplavová území
ZM10	Základní mapa 1:10 000

1.2 Cíle prací

Cílem prací je vyjádření povodňového nebezpečí na základě stanovení těchto charakteristik průběhu povodně:

- hranice rozlivů,
- hloubky vody v záplavovém území,
- rychlosti proudění vody v záplavovém území.

Podstatou vyjádření povodňového nebezpečí je určení prostorového rozdělení uvedených charakteristik povodně a zpracování těchto údajů do podoby tzv. map povodňového nebezpečí. Ty slouží v dalším kroku jako podklad pro vyjádření povodňového rizika semikvantitativní metodou uvedenou v „Metodice tvorby map povodňového nebezpečí a povodňových rizik“.

1.3 Předmět práce

Předmět práce zahrnuje tyto činnosti:

- popis postupů souvisejících se zajištěním vstupních podkladů – stávající + nové (dodatečné zaměření profilů, objektů atd.),
- sestavení (aktualizace) hydrodynamických modelů a příslušné simulace,
- zpracování výsledků numerického modelování a vytvoření map povodňového nebezpečí (mapy rozlivů, hloubek a rychlostí).

1.4 Postup zpracování a metoda řešení

Výchozím podkladem pro zpracování studie byla data ze „Stanovení záplavového území Šporka“ provedené v listopadu 2005 firmou DHI Hydroinform a.s.

Po prostudování poskytnutých dat byl proveden terénní průzkum s cílem zjistit, zda geodetické zaměření je dostatečné nebo bude třeba provést dodatečné zaměření. V průběhu terénního průzkumu byla pořízena nová fotodokumentace.

V zájmovém území byla v intravilánu obce Dolní Libchava provedena rekonstrukce úpravy koryta. Z tohoto důvodu bylo provedeno nové geodetické zaměření v celé délce této úpravy od profilu PR001 ř. km 1,486 až po profil PR033 ř. km 2,686.

Na základě místního šetření bylo shledáno, že kromě této úpravy koryta nedošlo od doby provádění studie v zájmovém území k žádným významným změnám v odtokových poměrech. Původní zaměření ze studie bylo prohlášeno za dostatečné a mimo nově zaměřený úsek toku nebylo nutné provádět žádné dodatečné zaměření. S ohledem na 5- letou platnost hydrologických dat bylo nutné v zájmovém profilu hydrologická data (průtoky n-letých vod) vydávaných ČHMÚ nechat znovu ověřit. U ověřených dat byly shledány zásadní změny průtoků, což vedlo k rozhodnutí prezentovat grafické výstupy nad aktualizovanou ZM 10. Pro výpočet byla použita původní trať ze zaměření z roku 2005 avšak s jinými okrajovými podmínkami vycházejícími ze změn průtoků v zájmovém profilu.

Hydraulické výpočty vodního toku včetně objektů a inundačního území byly provedeny pro Q_5 , Q_{20} , Q_{100} , Q_{500} . Získané výsledky byly jako bodová informace dále zpracovány pomocí nástrojů GIS nad výše zmíněným mapovým podkladem. V první řadě byly rozšířeny příčné profily tak, aby přesahovaly průběh záplavy Q_{500} , což bylo nezbytné pro tvorbu „Map hloubek“. Dále za pomoci vygenerovaných bodů z DMR 5G byly nad mapovým podkladem vyneseny průběhy záplavových čar a průběhy rychlostí. Průběhy obou typů čar byly upřesněny nad vytvořenou „Mapou hloubek“ z DMR 5G. Výsledky jsou prezentovány v podobě map povodňového nebezpečí v kapitole 6.

2 Popis zájmového území

Název vodního toku: Šporka

ID úseku IDVT CEVT: 10100280_1

Číslo hydrologického pořadí toku: 1-14-03-0550-0-00 (Šporka)

Úsek vodního toku: 0,0-5,2 ř. km

Významná vodní díla:

Významné přítoky: Skalický p., Libchava, Stružnický p.

Šporka (někdy uváděno Sporka!) je malý vodní tok, patří do povodí Ploučnice na severu Čech. Celá délka vodního toku spadá do okresu Česká Lípa. Pramení pod Lužickými horami poblíž obce Polevsko a po 21,4 km končí jako přítok Ploučnice u České Lípy.

Pramení ve výšce 517 m n. m. severně od obce Polevsko a města Nový Bor, na území náležejícím pod CHKO Lužické hory a teče převážně na jih. Zprvu jako potůček obcí Polevsko, poté se stáčí na jihozápad, pokračuje Arnultovicemi a Novým Borem a již jako potok podtéká silnici č. 9 v úseku mezi Českou Lípou a Novým Borem. Poté teče na jih krajinou již patřící k Zákupské pahorkatině svým korytem obcí Skalice u České Lípy, za obcí se klikatí a vytváří četné meandry. Míjí obce Manušice a Častolovice patřící administrativně k České Lípě, pak se odvrací na západ k Horní Libchavě, pokračuje na jih přes Dolní Libchavu, kde podchází silnici 268. Poté podtéká železniční trať mířící z České Lípy do Děčína a severně nad českolipskou čtvrtí Dubice se vlévá v nadmořské výšce 242 m n. m. do Ploučnice. Plocha celého povodí je udána 70,1 km².

Podklady:

Název vodního toku - zdroj VÚV TGM, 2011

ID úseku IDVT CEVT - zdroj Ministerstvo zemědělství, 2011

Číslo hydrologického pořadí vodního toku - zdroj ČHMÚ, 2013

Úsek vodního toku - zdroj Povodí Ohře, státní podnik, 2011

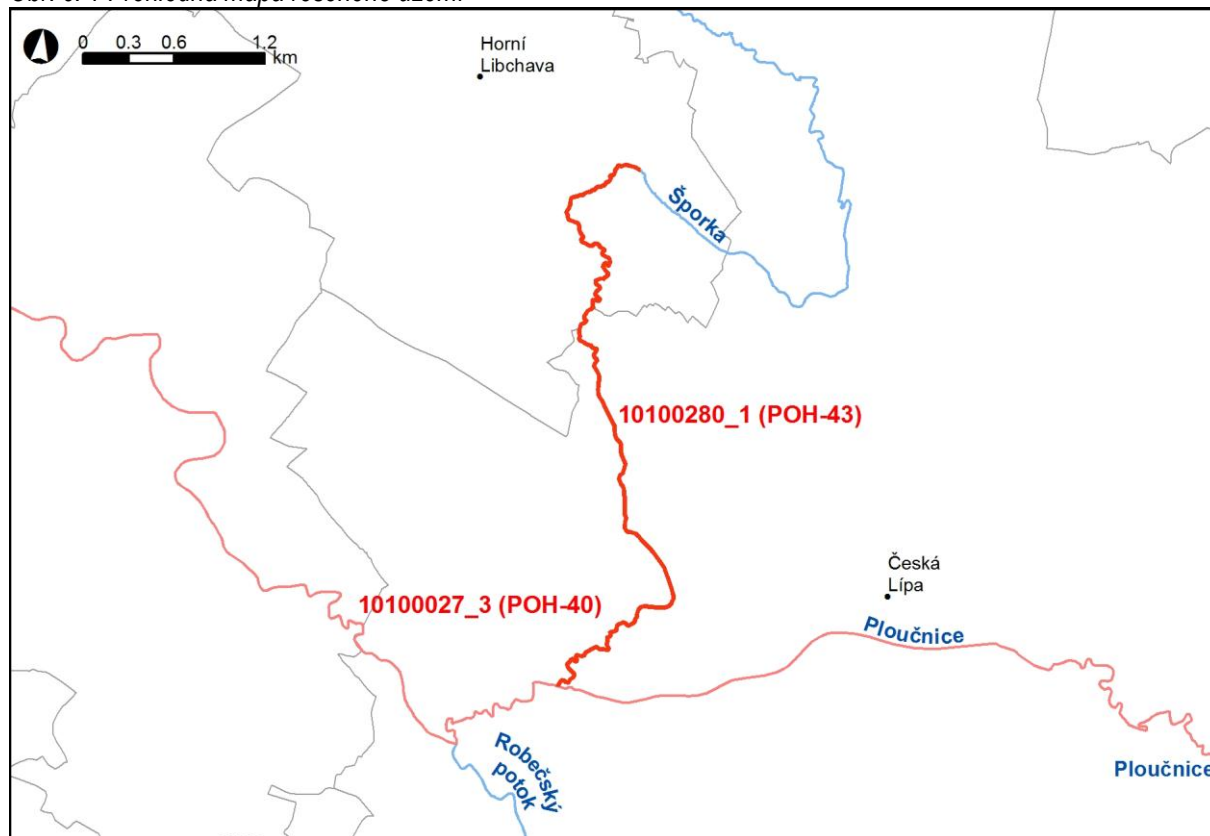
Významná vodní díla - zdroj ZM10, ČÚZK, 2012

Významné přítoky - zdroj ZM10, ČÚZK, 2012

Souhrnná technická zpráva „Stanovení záplavového území Šporka“, DHI Hydroinform a.s., listopad 2005

Wikipedie

Obr. č. 1 Přehledná mapa řešeného území



2.1 Všeobecné údaje

Šporka pramení 0,7 km východně od Polevska ve výšce 517 m n. m a ústí zprava do Ploučnice pod Českou Lípou v 242 m n. m. Celková plocha povodí je 70 km², délka vodního toku je 23 km a průměrný průtok na soutoku je 0,61 m³/s. Jedná se o vodohospodářsky významný vodní tok, který je veden v zastavěných oblastech převážně v upraveném korytě.

Studie je zpracována pro úsek vodního toku od soutoku s Ploučnicí nad obec Dolní Libchava po ř. km 5,726.

Koryto je v intravilánu obce Dolní Libchava nově upravené, v extravilánu neupravené. Upravené koryto má kapacitu Q₅ až Q₁₀, v části obce Dolní Libchava má kapacitu menší než Q₅. V extravilánu je kapacita Q₁ až Q₅.

Sklon vodního toku je v daném úseku proměnlivý. Pod železničním mostem Sp27_M je sklon 0,27 %. V upraveném úseku vodního toku v obci Dolní Libchava je sklon 0,16 % a nad obcí je sklon 0,13 %.

Rychlost vody odpovídá sklonům a pohybuje se v rozmezí 0,4 m/s až 1,8 m/s, výjimečně překračuje 2 m/s.

Režim proudění je v celém zámjmovém úseku vodního toku říční.

2.2 Průběhy historických povodní (největší zaznamenané povodně)

Zpracovatel předkládané studie prověřil informace o průběhu historických povodňových událostí. Problematika byla konzultována se správcem vodního toku. Na základě shromážděných informací lze konstatovat, že informace o průběhu povodní neexistují.

3 Přehled podkladů

V souladu s vyhláškou č. 236/2002 Sb. byly použity pro zpracování návrhu záplavového území tyto podklady. Pravidla pro citace podkladů se řídí dle ČSN ISO 690 (01 0197).

- Základní mapy 1 : 10 000 – digitální, rastrové – ZABAGED®, poskytl Povodí Ohře, státní podnik, 2012
- Výškopisná data DMR 5G, copyright ČÚZK, MO ČR, MZe ČR, 2012
- Geodetické zaměření – příčné profily, podélný profil, provedla firma Aquageo 2005 a doměření v roce 2011 firma Hydrossoft Veleslavín
- Výsledky hydraulické výpočtu nerovnoměrným prouděním (program Hydrocheck), 2012
- Hydrologická data: n-leté průtoky – ČHMÚ Ústí nad Labem 1.11.2011
- Hydrologické poměry ČSSR III. díl, HMÚ Praha, 1970
- Podrobný terénní průzkum zpracovatele, uskutečněný v lednu 2011 zaměřený na zmapování stavu koryta a břehů se zřetelem na místní překážky a další relevantní faktory
- Zákon č. 254/2001 Sb. - o vodách
- Vyhláška MŽP 236/2002 Sb. – o způsobu a rozsahu zpracování návrhu a stanovování záplavových území
- Geomorfologie Českých zemí, Jaromír Demek a kol., AC, 1965
- Vyšší geomorfologické jednotky České republiky, Český úřad zeměměřičký a katastrální, Praha, 1996
- Metadata poskytnutá Zeměměřičským ústavem k aktuální verzi ZM 10, 2012
- Atlas podnebí ČSSR, ČHMÚ
- Wikipedie

3.1 Topologická data

Topologická data jsou základním zdrojem, který je potřebný pro sestavení hydrodynamického modelu. Pomocí nich je možné popsat řešené území, sestavit digitální model terénu a vytvořit vhodnou schematizaci modelu. Jednotlivé topologické podklady jsou popsány v následujících kapitolách.

3.1.1 Vytvoření (aktualizace) DMT

Digitální model terénu byl sestaven z Digitálního modelu reliéfu České republiky 5. generace DMR 5G od ČÚZK. Sestavení DMT proběhlo v softwaru společnosti ESRI v ArcGIS pomocí extenze 3D Analyst. DMT byl vygenerován ve formátu ESRI tin, který se převedl do formátu georeferencovaný tif s velikostí pixelu 2 x 2 m.

Ke zpracování DMT bylo použito DMR 5G ve verzi k 12.1.2012.

3.1.2 Mapové podklady

Pro potřeby studie byla vybrána Základní mapa České republiky 1:10 000 (ZM 10) aktualizovaná Zeměměřičským úřadem v roce 2011. Jedná se o nejpodrobnější základní mapu středního měřítka.

ZM 10 obsahuje polohopis, výškopis a popis. Předmětem polohopisu jsou sídla a jednotlivé objekty, komunikace, vodstvo, hranice správních jednotek a katastrálních území (včetně územně technických jednotek), hranice chráněných území, body polohového a výškového bodového pole, porost a povrch půdy. Předmětem výškopisu je terénní reliéf zobrazený vrstevnicemi a terénními stupni. Popis mapy sestává z druhového označení objektů, standardizovaného geografického názvosloví, kót vrstevnic, výškových kót, rámových a mimorámových údajů. Obsahem mapových listů je i rovinná pravoúhlá souřadnicová síť a zeměpisná síť. Předměty obsahu mapy jsou znázorněny pouze na území České republiky. Míra generalizace polohopisu je na takové úrovni, že nedochází k rozsáhlejšímu spojování jednotlivých staveb do bloků a ke zjednodušování tvarů. Mapa tak poskytuje velmi podrobnou představu o zobrazovaném území.

Data ZM 10 se stavem aktualizace v roce 2009 a dříve byly odvozovány z vektorových výstupů, které vznikaly v průběhu tvorby vizualizací ZABAGED®. Jejich rasterizací a následnou transformací do souřadnicového systému

S-JTSK vznikl obraz státního území, který byl strukturovaný po listech ZM 10. Dalším zpracováním byla pořízena barevná bežešvá rastrová mapa s barevnou hloubkou 4 bit, jednotnou barevnou paletou a hustotou 400 dpi. Z důvodu nižší kvality rozlišení těchto výstupů bylo v roce 2011 přistoupeno k nahrazení těchto souborů novými rastry, které vznikly přímým odvozením z tiskových podkladů ZM 10. Tyto rastry mají barevnou hloubku 24 bit a rozlišení 800 dpi. Data ZM 10 se stavem aktualizace v roce 2010 a později jsou odvozovány přímo z postscriptových souborů nové technologické linky. Tyto soubory jsou službou aplikačního serveru rastrovány s rozlišením 800 dpi, barevnou hloubkou 8 bit a jednotnou barevnou paletou. Do doby pokrytí celého území ČR soubory z nové technologické linky budou uživatelům poskytovány vždy obě datové sady. Tvorbu a aktualizaci ZM 10 zajišťuje Zeměměřický úřad.

ZM 10 je distribuována ve formátu TIF po segmentech bežešvé mapy – čtvercích 2 x 2 km, se stranami rovnoběžnými se souřadnicovými osami S-JTSK.. Kromě grafického umístovacího souboru je dodáván textový umístovací soubor TFW a to pro zobrazení S-JTSK / Krovak EN. Tento soubor obsahuje souřadnici levého horního rohu umístovacího čtverce a velikost pixlu v metrech pro dané rozlišení souboru. Předané soubory TIF mají rozlišení 3149 x 3149 (72DPI).

3.1.3 Geodetické podklady

Jak již bylo zmíněno v kapitole 1.4, bylo nutné v úseku vodního toku od profilu PR001 ř. km 1,486 až po profil PR033 ř. km 2,686 provést nové geodetické zaměření, které prováděla společnost Hydrosoft Veleslavín s.r.o. v roce 2011. Při stavbě modelu bylo dále použito zaměření z původní studie provedené firmou Aquageo v.o.s. v červnu 2005. Pro přesnější vynesení průběhu záplavových čar byla k dispozici data z leteckého snímkování DMR 5G, která poskytlo Povodí Ohře, státní podnik.

Jiné výškopisné podklady nebyly pro zpracování studie k dispozici.

3.2 Hydrologická data

Název hydrologického profilu: nad zaústěním do Ploučnice, nad soutokem s Libchavou

Datum pořízení: 11.1.2011

Říční kilometr: 0,00 ř. km; 4,904 ř. km

Třída přesnosti dle ČSN 75 1400: III.

Velikost plochy povodí k profilu: 70,1 km²; 41,7 km²

Číslo hydrologického pořadí toku: 1-14-03-0550-0-00 (Šporka)

N-leté průtoky: viz tabulka č. 3.1

N-leté průtoky porovnání: viz tabulka č. 3.2

Tab. č. 3.1 N-leté průtoky (Q_N) v m³.s⁻¹

Hydrologický profil	Datum pořízení	Říční kilometr	Q ₅	Q ₂₀	Q ₁₀₀	Q ₅₀₀	Třída přesnosti
Nad soutokem s Libchavou	1.11.2011	4,904	11,3	18,6	29,1		III.
Nad zaústěním do Ploučnice	1.11.2011	0,00	14,7	24,2	38,0	55	III.

Tab. č. 3.2 Porovnání N-letých průtoků platných a z původní studie (Q_N) v $m^3 \cdot s^{-1}$
Nad soutokem s Libchavou

Vodní tok	N-leté průtoky (Q_N) v $m^3 \cdot s^{-1}$								datum předání
	1	2	5	10	20	50	100	500	
Šporka	4,92	7,36	11,3	14,7	18,6	24,3	29,1	-	25.10.2011
	6,4	9	13	16,2	19,8	24,8	29		květen 2005
%	-23,1	-18,2	-13,07	-9,3	-6,1	-2,0	0,35		

Nad zaústěním do Ploučnice

Vodní tok	N-leté průtoky (Q_N) v $m^3 \cdot s^{-1}$								datum předání
	1	2	5	10	20	50	100	500	
Šporka	6,42	9,61	14,7	19,2	24,2	31,7	38	55	25.10.2011
	8,4	11,8	17,1	21,3	25,9	32,5	38		květen 2005
%	-23,6	-18,6	-14,03	-9,9	-6,6	-2,5	0		

Z výše uvedené tabulky vyplývá (žlutě vyznačeno zvýšení, zeleně vyznačeno snížení průtoků), že hodnoty průtoků oproti původním hydrologickým datům se změnil v průměru o 10%, což dalo podnět k vynášení všech záplavových čar nad aktuálním rastrem.

3.2.1. Hydrologické poměry a jejich interpretace ve výpočtovém modelu

Pro zpracování studie byly použity základní hydrologické údaje ČHMÚ. V souladu s podmínkami zadání provedl řešitel zpřesnění hydraulických výpočtů vložení profilů se změnami hydrologických údajů viz tab. č. 3.3. Tato data byla získána interpolací z výše uvedených údajů ČHMÚ podle dílčích ploch povodí. Uvedené údaje velkých vod byly uplatněny ve výpočtovém modelu prostřednictvím tzv. hodnot delta Q (dále jen dQ). Hodnoty delta Q jsou rozdíly příslušných průtoků v jednotlivých uvedených profilech a reprezentují tedy úbytky průtoků v nich. Tyto změny průtoků jsou uvedeny v psaném podélném profilu a jsou součástí výpočtového modelu Hydrocheck.

Tab. č. 3.3 Rekapitulace rozdělení hydrologických dat ve výpočtovém modelu

zdroj	Profil	od - do	N-leté průtoky (Q_N) v $m^3 \cdot s^{-1}$							
		ř.km	1	2	5	10	20	50	100	500
Q	Šporka soutok s Ploučnicí	0,000 – 4,907	6,42	9,61	14,7	19,2	24,2	31,7	38	55
dQ ₁	nad Libchavou	4,907 – 5,517	4,92	7,36	11,3	14,7	18,6	24,3	29,1	42

V tomto případě byla interpolací získána pouze hodnota pro Q_{500} v profilu „nad Libchavou“ ostatní hodnoty jsou základní hydrologické údaje ČHMÚ.

3.3 Místní šetření

Místní šetření proběhlo 23.1.2011 a byla zpracována podrobná fotodokumentace. Každá fotografie je časově a prostorově lokalizovaná. Součástí fotodokumentace jsou i fotky ze starších studií. Lokalizace starší fotodokumentace nebyla dodatečně prováděna, v některých případech ale byly i starší fotky lokalizované.

Cílem místního šetření bylo:

a) posouzení nutnosti doplňujícího geodetického zaměření. V případech rekonstrukcí objektů či vlastního koryta či jakékoliv změně v korytě či inundačním území bylo posuzováno, zadali je, nebo není potřeba provést nové zaměření. Výsledek šetření je popsán v kapitole 3.1.3 Geodetické podklady.

b) posouzení drsnostních charakteristik. Cílem průzkumu bylo mimo jiné i posouzení drsnostních charakteristik, zejména v inundaci, kde se odtokové parametry mohly změnit novou výstavbou. Dále bylo potřeba určit drsnostní charakteristiky v území potenciálně zaplaveném povodní Q_{500} .

c) posouzení morfologie terénu z pohledu průtoku Q_{500} . Bylo nutné rozhodnout, zdali bude nutné rozšiřovat profily původního modelu, či nikoliv. Ne vždy se celá se inundace podílí na průtoku. Na základě průzkumu byly některé profily v době sestavování modelu, proti původní studii rozšiřovány z výškopisu DMR 5G.

d) posouzení objektů z pohledu průtoku Q_{500} . Původní modely nepočítaly s tak velkým průtokem. Bylo tedy nutné posoudit průtokové parametry objektů i při této extrémní povodni. U některých objektů byly na základě pořízené fotodokumentace upraveny průtokové koeficienty či další parametry objektu, například rozsah zasahování mostovky do průtočného profilu.

e) posouzení ohrožení zaplavovaného území povodní. Tato část průzkumu měla za úkol pořídit fotodokumentaci ohrožených objektů v inundaci tak, aby později bylo možné rozhodovat, zda a v jakém rozsahu bude nemovitost ohrožena. Jedná se zde ale o doplňkovou informaci pro analýzy v GIS a v žádném případě se nejedná o evidenci a podrobnou dokumentaci jednotlivých objektů zasažených vodou.

Při stavbě modelu pak byla pořízená fotodokumentace významným nástrojem pro rozhodování kde a jak model upravovat.

3.4 Doplnující podklady – technické a provozní informace, zprávy, studie, dokumenty, literatura

V průběhu zpracování nebyly poskytnuty žádné další podklady.

3.5 Normy, zákony, vyhlášky

Postupy zpracování studie byly v souladu s níže uvedenými dokumenty v jejich platném znění:

- [1] ČSN 75 0110 Vodní hospodářství – Terminologie hydrologie a hydroekologie
- [2] ČSN 75 1400 Hydrologické údaje povrchových vod.
- [3] ČSN 75 2410 Malé vodní nádrže.
- [4] Zákon č. 240/2000 Sb. o krizovém řízení a změně některých zákonů (krizový zákon).
- [5] Nařízení vlády č. 462/2000 Sb., k provedení §27 odst. 8 a §28 odst. 5 zákona č. 240/2000 Sb., o krizovém řízení a o změně některých zákonů (krizový zákon).
- [6] Vyhláška MŽP 236/2002 Sb., o způsobu a rozsahu zpracovávání návrhu a stanovování záplavových území.
- [7] Vyhláška č. 178/2012 Sb., kterou se stanoví seznam významných vodních toků a způsob provádění činností souvisejících se správou vodních toků.
- [8] Zákon č. 114/1992 Sb., o ochraně přírody a krajiny.

3.6 Vyhodnocení a příprava podkladů

Poskytnuté podklady plně pokryly zájmové území. Původní profily musely být místy rozšířeny, protože v původní studii nebyl řešen průtok Q_{500} . Pro rozšíření profilů bylo použito podkladu DMR 5G, jehož přesnost je pro potřeby modelu v okrajových částech inundace dostatečná.

4 Popis koncepčního modelu

Základním požadavkem na zpracování záplavových území je provádění výpočtů metodou ustáleného nerovnoměrného proudění. Pro tento typ výpočtů je vhodný program HYDROCHECK verze 5.X, který používáme.

Jedná se o programový prostředek vyvinutý společností Hydrosoft Veleslavín s.r.o. v devadesátých letech ve spolupráci s Podniky Povodí. Řeší ustálené nerovnoměrné proudění v otevřených neprizmatických korytech v režimových oblastech říčních i bystřinných. Základem řešení nerovnoměrného proudění je obecná metoda po úsecích. Významné objekty byly počítány funkcemi programu Hydrocheck jako objekty.

Program Hydrocheck verze 5.X je mimo jiné vhodným nástrojem pro posuzování aktivní zóny, či hodnocení map rizik, neboť umožňuje vyhodnocování svislicových rychlostí v příčném řezu. Díky tomu je možné vyhodnocovat rychlosti v inundaci a vytvářet mapu rychlostí jako plošnou informaci, nikoliv jen bodovou.

4.1 Schematizace řešeného problému

Schéma modelu je poměrně jednoduché. Koryto prochází prakticky v celém zájmovém úseku údolnicí a inundace není široká. Nebylo tedy nutné zpracovávat dílčí úseky vodního toku jako okružovou síť. Vzdálenosti příčných profilů v intravilánu jsou cca 50 m, v extravilánu cca 200 až 250 metrů, v místech, kde to bylo potřeba hustěji.

4.2 Posouzení vlivu nestacionarity proudění

Vliv nestacionarity je ve výpočtech zanedbán. Studie je zpracována metodou stacionárního nerovnoměrného proudění, což je v souladu s požadavky objednatele.

4.3 Způsob zadávání OP a PP

Jelikož se jedná o výpočet ustáleného rovnoměrného proudění v říčním korytě, zadává se okrajová podmínka v dolním výpočtovém profilu v podobě hladiny a průtoku. V místě významných přítoků, pro které jsou k dispozici hydrologické údaje, se zadává změna průtoku. Jiné okrajové ani počáteční podmínky výpočtu se nezadávají.

5 Popis numerického modelu

5.1 Použité programové vybavení

Vlastní výpočty byly prováděny metodou ustáleného nerovnoměrného proudění v programu HYDROCHECK verze 5.X, který se osvědčil při výpočtech obdobných studií.

Základní výhodou programu HYDROCHECK verze 5.X je možnost rozdělení průtočného profilu na libovolné segmenty pomocí fiktivních svislic na vlastní koryto a přilehlé části inundace, ohraničené svislými rovinami, vedenými například v linii břehové hrany koryta. Jednotlivé části příčného profilu mají různou drsnost a s tím souvisí i různé rychlosti proudění a výsledná poloha hladiny vody v profilu. HYDROCHECK verze 5.X umožňuje zobrazit podrobné rozdělení rychlostí v příčném profilu tak i rozdělení aktivní zóny v příčném profilu.

Pro výpočty konsumpčních křivek významných objektů byl použit nástroj - výpočty objektů, který je nyní přímou součástí programu HYDROCHECK verze 5.X.

Kromě metody nerovnoměrného proudění bývá užíváno i nástrojů rovnoměrného proudění pro stanovení konzumpční křivky dolní okrajové podmínky.

Pro vynášení záplavových čar z vypočtených úrovní hladin do mapového podkladu je využíváno funkcí HYDROCHECKu verze 5.X, který generuje vypočtené průsečíky hladin v profilech do mapy.

5.2 Vstupní data numerického modelu

Základem prací na studii je podrobný terénní průzkum. Na základě terénního průzkumu a kvalitní fotodokumentace jsou určeny drsnostní charakteristiky a později vynášeny záplavové čáry a aktivní zóna.

Podkladem pro práci bylo podrobné geodetické zaměření v rozsahu potřebném pro jednorozměrný matematický model, tedy příčné a údolní profily a veškeré objekty. Kromě toho byly pro vynášení záplavové čáry a aktivní zóny použity všechny měřené body v rámci TPE.

Základním prvkem zadání je příčný profil - jeho geometrický tvar a rozměry, včetně součinitele drsnosti omočeného profilu.

Průtočný profil je možno rozdělit pomocí fiktivních svislic na vlastní koryto a přilehlé části inundace, ohraničené svislými rovinami, vedenými například v linii břehové hrany koryta. Jednotlivé části příčného profilu mají různou drsnost a s tím souvisí i různé rychlosti proudění a výsledné poloha hladiny vody v profilu.

Na základě fotodokumentace a poznámek získaných při rekognoscaci terénu byly voleny hodnoty Manningova drsnostního součinitele n pro jednotlivé části omočeného profilu.

Kromě vytvoření geometrického modelu říční sítě včetně objektů je pro simulace nerovnoměrného proudění nutné zadat okrajové podmínky. Jedná se především o průtok a označení počátečního (popřípadě koncového) profilu, ve kterém má být průběh proudění řešen. Dále se zadává hladina v počátečním profilu, pokud není zvolen režim jejího automatického výpočtu z konzumpční křivky.

5.2.1 Morfologie vodního toku a záplavového území

Soutok s Ploučnicí – Dolní Libchava, ř. km 0,000 - 1,624

V tomto úseku protéká Šporka neupraveným korytem, prakticky nezastavěnou oblastí. Na levém břehu se na náspu nachází čistírna odpadních vod, která není záplavou ze Šporky ohrožena. V oblasti soutoku dochází k rozlívům, které pod železničním mostem PF 27 navazují na záplavové čáry Ploučnice.

Intravilán obce Dolní Libchava, ř. km 1,624 – 3,743

V tomto úseku je přes zastavěné území Dolní Libchavy Šporka vedena upraveným korytem, kapacita koryta je zde menší než Q_5 . Přesto, že byla úprava koryta rekonstruována a byla zkapacitněna řada objektů, kapacita koryta se výrazně nezvýšila. Důvodem je malý sklon úseku vodního toku a vysoká DOP v Ploučnici, která při

povodni brání odtoku. Vzhledem k plochému inundačnímu území zde dochází k poměrně široké záplavě, která zasahuje do levobřežní i pravobřežní zástavby.

Nad obcí Dolní Libchava, ř. km 3,743 – 5,726

Stejně jako v předchozím úseku má i zde Šporka přírodní charakter a prochází nezastavěným územím. Koryto má kapacitu Q_1 až Q_5 . Inundační území je zde ploché a tak dochází k poměrně širokým rozlivům. Zástavba Dolní Libchavy se v blízkosti vodního toku nachází pouze u křížení vodního toku se silnicí PF 83. Šporka se v tomto místě rozlévá pod silnicí při Q_{100} . V tomto místě se do Šporky vlévá přítok Libchava.

5.2.2 Drsnosti hlavního koryta a inundačních území

Program Hydrocheck verze 5.X umožňuje zadávání drsností nepřímo pomocí kódů, proto byl změněn způsob práce s drsnostmi. Dříve bylo jen velmi těžké měnit bodové drsnosti v profilech z tohoto důvodu byly vyplňovány bodové drsnosti pouze mimo koryto a v korytě byla používána globální drsnost, kterou bylo možné v celém úseku trati snadno změnit.

Nyní byly vyplňovány všechny drsnosti v celém příčném profilu a snadná možnost korigovat drsnosti během výpočtu zůstává zachována.

Použité drsnosti jsou uvedeny v tabulkách 5.1 a 5.2. Podrobné informace o použitých drsnostech v příčných profilech najdete ve výpisu výpočtové trati.

Tab. č. 5.1 Použité drsnosti dle Manninga v korytě

Popis	n
Beton v dobrém stavu	0,020
Beton starý	0,035
dlažba	0,025 - 0,045
tráva	0,035 - 0,045
keře	0,060 - 0,090

Tab. č. 5.2 Použité drsnosti dle Manninga v inundačním území

Popis	n
silnice chodníky - asfalt, beton	0,020 - 0,025
cesta	0,035 - 0,040
louky, pole	0,035 - 0,045
stromy, keře	0,060 - 0,120
hustý porost	0,120 - 0,160
zahrady s ploty, zástavba	0,160 - 0,200 nebo vypuštěné z výpočtu

5.2.3 Hodnoty okrajových podmínek

Dolní okrajová podmínka byla stanovena v profilu soutoku Šporky s Ploučnicí. Pro profil DOP jsme získali hladiny v Ploučnici, pro jejich odpovídající průtoky, které jsme přiřadili k výpočtovým průtokům Šporky Q_5 , Q_{20} , Q_{100} a Q_{500} . Jejich hodnoty pro profil vyústění Šporky jsou v následujícím výpisu a výpočtové průtoky Šporky také v tabulce č. 5.3.

Pro DOP byla stanovena následující kombinace průtoků v obou tocích.

Šporka	Ploučnice
$Q_5=14,7 \text{ m}^3/\text{s}$	H_5
$Q_{20}=24,2 \text{ m}^3/\text{s}$	H_5
$Q_{100}=38 \text{ m}^3/\text{s}$	H_{20}
$Q_{500}=55 \text{ m}^3/\text{s}$	H_{100}

Tab. č. 5.3 N-leté povodňové průtoky uvažované při hydraulickém řešení

profil DOP/ N- leté průtoky Q_N	Úsek toku (km od - do)	Q_5	Q_{20}	Q_{100}	Q_{500}	Poznámka
profil Sp1, ř. km 0,00	0,0-5,2	14,7	24,2	38	55	

5.2.4 Hodnoty počátečních podmínek

Jak již bylo řečeno dříve, počáteční podmínky se v případě ustáleného nerovnoměrného proudění nezadávají.

5.2.5 Diskuze k nejistotám a úplnosti vstupních dat

Vstupní data byla pro zpracování studie dostatečná.

5.3 Popis kalibrace modelu

Pro kalibraci modelu nebyly k dispozici žádné povodňové značky, ani jiné údaje.

6 Výstupy z modelu

Hlavním výstupem z matematického modelu je psaný podélný profil, jež je zpracován pro všechny průtokové epizody a jež je hlavním nástrojem pro tvorbu záplavových čar. Psaný podélný profil kromě vypočtené úrovně hladiny obsahuje i informaci o výšce dna (nejhlubší dno), úroveň levého a pravého břehu (břehová hrana) a dále úroveň spodní hrany mostovky mostních objektů. Profil je doplněn o poznámku, upřesňující umístění daného příčného řezu.

Psaný podélný profil je uveden na následující stránce.

Tab. č. 6.1 Výpočet úrovně hladin

Profil	ř.km objektů	Kóta dna	Levý břeh	Pravý břeh	Z ₅	Q ₅	Z ₂₀	Q ₂₀	Z ₁₀₀	Q ₁₀₀	Z ₅₀₀	Q ₅₀₀	Kóta mostovky	Popis objektu
	[km]	[m n.m.]	[m n.m.]	[m n.m.]	[m n.m.]	[m ³ /s]	[m n.m.]	[m ³ /s]	[m n.m.]	[m ³ /s]	[m n.m.]	[m ³ /s]	[m n.m.]	
Sp1	0,038	241,43	243,42	243,31	244,00	14,7	244,00	24,2	244,35	38,0	244,62	55,0		
Sp2	0,081	241,84	243,49	243,48	244,00	14,7	244,00	24,2	244,35	38,0	244,62	55,0		
Sp3	0,115	241,95	243,48	243,41	244,00	14,7	244,01	24,2	244,35	38,0	244,62	55,0		
Sp4	0,185	241,60	243,60	243,57	244,01	14,7	244,02	24,2	244,36	38,0	244,63	55,0		
Sp5	0,254	242,23	243,80	243,75	244,02	14,7	244,05	24,2	244,38	38,0	244,65	55,0		
Sp6	0,321	242,13	244,07	244,12	244,03	14,7	244,08	24,2	244,39	38,0	244,66	55,0		
Sp7	0,363	241,96	244,21	244,26	244,03	14,7	244,08	24,2	244,40	38,0	244,66	55,0		
Sp9	0,453	242,50	244,37	244,40	244,35	14,7	244,48	24,2	244,57	38,0	244,76	55,0		
Sp10	0,490	242,80	244,55	244,50	244,45	14,7	244,57	24,2	244,68	38,0	244,83	55,0		
Sp11	0,519	242,93	244,70	244,57	244,71	14,7	244,86	24,2	245,02	38,0	245,17	55,0		
Sp12_M	0,532	242,92	245,15	245,15	245,10	14,7	245,25	24,2	245,41	38,0	245,56	55,0	244,29	Most
Sp13	0,546	243,01	244,39	244,69	245,11	14,7	245,25	24,2	245,41	38,0	245,57	55,0		
Sp14	0,598	242,93	244,65	244,79	245,18	14,7	245,35	24,2	245,50	38,0	245,65	55,0		
Sp15	0,634	243,14	244,83	244,92	245,22	14,7	245,41	24,2	245,58	38,0	245,74	55,0		
Sp16	0,669	242,61	244,75	245,01	245,26	14,7	245,46	24,2	245,65	38,0	245,83	55,0		
Sp17	0,707	242,42	244,99	245,06	245,30	14,7	245,50	24,2	245,69	38,0	245,88	55,0		
Sp18	0,726	242,61	245,03	245,03	245,32	14,7	245,53	24,2	245,75	38,0	245,97	55,0		
Sp19	0,763	243,03	245,15	245,20	245,32	14,7	245,57	24,2	245,83	38,0	246,09	55,0		
Sp20	0,790	243,11	245,15	245,10	245,32	14,7	245,57	24,2	245,83	38,0	246,09	55,0		
Sp21	0,837	243,18	244,66	245,14	245,32	14,7	245,57	24,2	245,83	38,0	246,09	55,0		
Sp22	0,865	243,03	245,29	245,07	245,41	14,7	245,71	24,2	246,03	38,0	246,36	55,0		
Sp23	0,929	243,14	245,32	245,45	245,44	14,7	245,75	24,2	246,08	38,0	246,43	55,0		
Sp24	0,972	243,02	245,59	245,62	245,44	14,7	245,75	24,2	246,08	38,0	246,43	55,0		
Sp26	1,095	244,06	245,46	245,63	245,67	14,7	245,96	24,2	246,29	38,0	246,63	55,0		
Sp27_M	1,112	244,45	246,71	246,74	245,85	14,7	246,28	24,2	246,80	38,0	247,40	55,0		
Sp28	1,117	244,45	246,56	246,44	245,85	14,7	246,28	24,2	246,80	38,0	247,40	55,0		
Sp29	1,163	244,02	245,47	245,36	245,93	14,7	246,31	24,2	246,82	38,0	247,41	55,0		
Sp30	1,213	244,22	245,42	245,64	246,06	14,7	246,39	24,2	246,86	38,0	247,44	55,0		
Sp31	1,296	244,42	245,81	245,55	246,25	14,7	246,54	24,2	246,95	38,0	247,49	55,0		
Sp32	1,368	244,40	245,65	245,75	246,34	14,7	246,63	24,2	247,03	38,0	247,54	55,0		

ZPRACOVÁNÍ MAP POVODŇOVÉHO NEBEZPEČÍ A POVODŇOVÝCH RIZIK PRO OBLAST POVODÍ OHŘE A DOLNÍHO LABE
B. TECHNICKÁ ZPRÁVA – HYDRODYNAMICKÉ MODELY A MAPY POVODŇOVÉHO NEBEZPEČÍ

Profil	ř.km objektů	Kóta dna	Levý břeh	Pravý břeh	Z ₅	Q ₅	Z ₂₀	Q ₂₀	Z ₁₀₀	Q ₁₀₀	Z ₅₀₀	Q ₅₀₀	Kóta mostovky	Popis objektu
	[km]	[m n.m.]	[m n.m.]	[m n.m.]	[m n.m.]	[m ³ /s]	[m n.m.]	[m ³ /s]	[m n.m.]	[m ³ /s]	[m n.m.]	[m ³ /s]	[m n.m.]	
Sp33	1,410	244,54	245,81	245,66	246,38	14,7	246,67	24,2	247,06	38,0	247,57	55,0		
Sp34	1,465	244,54	245,88	246,01	246,47	14,7	246,73	24,2	247,09	38,0	247,58	55,0		
PR001	1,486	244,76	246,87	246,99	246,51	14,7	246,75	24,2	247,10	38,0	247,59	55,0		
PR002	1,545	244,68	246,98	247,02	246,59	14,7	246,80	24,2	247,13	38,0	247,60	55,0		
PR003	1,617	245,09	247,29	247,25	246,72	14,7	246,90	24,2	247,18	38,0	247,62	55,0		
PR004_L	1,623	245,13	248,38	248,36	246,73	14,7	246,90	24,2	247,19	38,0	247,62	55,0	247,78	Lávka
PR006	1,680	244,96	247,37	247,21	246,89	14,7	247,07	24,2	247,29	38,0	247,67	55,0		
PR007	1,739	245,17	247,48	248,00	246,96	14,7	247,14	24,2	247,37	38,0	247,72	55,0		
PR008	1,794	245,05	247,60	247,57	247,07	14,7	247,26	24,2	247,51	38,0	247,82	55,0		
PR010	1,856	245,30	247,78	248,37	247,22	14,7	247,54	24,2	247,78	38,0	247,94	55,0		
PR011_M	1,864	245,38	248,32	248,34	247,22	14,7	247,54	24,2	247,94	38,0	248,04	55,0	247,55	Most
PR012	1,867	245,49	248,13	247,56	247,22	14,7	247,54	24,2	247,94	38,0	248,04	55,0		
PR014	1,982	245,39	247,64	247,75	247,62	14,7	248,25	24,2	248,59	38,0	248,77	55,0		
PR016	2,082	245,53	248,13	248,06	248,15	14,7	248,58	24,2	248,88	38,0	249,13	55,0		
PR017_L	2,093	245,53	248,47	248,37	248,23	14,7	248,65	24,2	248,97	38,0	249,24	55,0	248,21	Lávka
PR018	2,095	245,58	247,80	247,84	248,23	14,7	248,65	24,2	248,97	38,0	249,24	55,0		
PR021	2,235	245,87	248,25	248,34	248,35	14,7	248,74	24,2	249,08	38,0	249,38	55,0		
PR022_M	2,258	245,94	249,36	249,33	248,42	14,7	248,85	24,2	249,12	38,0	249,40	55,0	248,70	Most
PR022_Mh	2,261	245,97	249,30	249,34	248,42	14,7	248,85	24,2	249,12	38,0	249,40	55,0		
PR023	2,267	245,93	248,39	248,31	248,42	14,7	248,85	24,2	249,12	38,0	249,40	55,0		
PR024	2,307	246,08	248,32	248,27	248,48	14,7	248,90	24,2	249,18	38,0	249,46	55,0		
PR025	2,356	246,02	248,34	248,31	248,55	14,7	249,01	24,2	249,31	38,0	249,58	55,0		
PR026	2,448	246,08	248,37	248,36	248,65	14,7	249,09	24,2	249,39	38,0	249,67	55,0		
PR027_M	2,454	246,05	248,87	248,77	248,66	14,7	249,11	24,2	249,42	38,0	249,71	55,0	248,54	Most
PR028	2,456	246,07	248,43	248,45	248,66	14,7	249,11	24,2	249,42	38,0	249,71	55,0		
PR029	2,500	246,19	248,52	248,53	248,71	14,7	249,15	24,2	249,47	38,0	249,76	55,0		
PR030	2,557	246,23	248,57	248,56	248,79	14,7	249,21	24,2	249,54	38,0	249,84	55,0		
PR031	2,617	246,28	248,71	248,61	248,85	14,7	249,27	24,2	249,60	38,0	249,91	55,0		
PR032	2,674	246,48	248,60	248,65	248,90	14,7	249,32	24,2	249,66	38,0	249,97	55,0		
PR033	2,686	246,51	248,21	248,53	248,94	14,7	249,38	24,2	249,74	38,0	250,06	55,0		
Sp59	2,689	246,50	248,38	248,61	248,95	14,7	249,38	24,2	249,74	38,0	250,06	55,0		
Sp60	2,778	246,64	249,23	249,22	249,00	14,7	249,44	24,2	249,81	38,0	250,15	55,0		

ZPRACOVÁNÍ MAP POVODŇOVÉHO NEBEZPEČÍ A POVODŇOVÝCH RIZIK PRO OBLAST POVODÍ OHŘE A DOLNÍHO LABE
B. TECHNICKÁ ZPRÁVA – HYDRODYNAMICKÉ MODELY A MAPY POVODŇOVÉHO NEBEZPEČÍ

Profil	ř.km objektů	Kóta dna	Levý břeh	Pravý břeh	Z ₅	Q ₅	Z ₂₀	Q ₂₀	Z ₁₀₀	Q ₁₀₀	Z ₅₀₀	Q ₅₀₀	Kóta mostovky	Popis objektu
	[km]	[m n.m.]	[m n.m.]	[m n.m.]	[m n.m.]	[m ³ /s]	[m n.m.]	[m ³ /s]	[m n.m.]	[m ³ /s]	[m n.m.]	[m ³ /s]	[m n.m.]	
Sp61	2,867	246,81	247,99	248,05	249,08	14,7	249,52	24,2	249,89	38,0	250,23	55,0		
Sp62	2,965	246,90	248,40	248,34	249,12	14,7	249,54	24,2	249,90	38,0	250,25	55,0		
Sp63	3,000	247,15	248,05	248,66	249,15	14,7	249,56	24,2	249,93	38,0	250,27	55,0		
Sp64_M	3,012	246,92	250,02	249,81	249,17	14,7	249,62	24,2	250,04	38,0	250,42	55,0	249,12	Most
Sp66	3,125	246,27	250,34	248,40	249,22	14,7	249,71	24,2	250,18	38,0	250,60	55,0		
Sp67	3,181	246,82	248,86	249,15	249,22	14,7	249,71	24,2	250,18	38,0	250,60	55,0		
Sp68	3,323	246,35	249,07	249,26	249,34	14,7	249,81	24,2	250,28	38,0	250,70	55,0		
Sp69	3,477	246,75	249,68	249,55	249,43	14,7	249,89	24,2	250,36	38,0	250,79	55,0		
Sp70	3,567	246,91	249,17	249,70	249,51	14,7	249,91	24,2	250,36	38,0	250,79	55,0		
Sp71	3,743	247,56	249,94	249,86	249,67	14,7	250,06	24,2	250,51	38,0	250,97	55,0		
Sp72	3,831	246,98	249,78	249,97	249,74	14,7	250,08	24,2	250,51	38,0	250,97	55,0		
Sp73	3,942	247,56	249,98	250,15	249,89	14,7	250,29	24,2	250,67	38,0	251,09	55,0		
Sp74	4,237	247,91	250,36	250,08	250,32	14,7	250,68	24,2	250,93	38,0	251,26	55,0		
Sp75	4,347	247,83	250,73	250,25	250,47	14,7	250,82	24,2	251,07	38,0	251,37	55,0		
Sp76	4,414	248,17	250,44	250,81	250,58	14,7	250,87	24,2	251,18	38,0	251,52	55,0		
SP77	4,488	248,20	250,94	251,03	250,72	14,7	251,07	24,2	251,42	38,0	251,79	55,0		
Sp78	4,581	248,78	250,45	251,11	250,84	14,7	251,18	24,2	251,46	38,0	251,79	55,0		
Sp79	4,663	249,01	250,49	250,38	250,95	14,7	251,33	24,2	251,67	38,0	252,02	55,0		
Sp80	4,744	248,44	251,59	251,72	251,02	14,7	251,41	24,2	251,77	38,0	252,13	55,0		
Sp81	4,800	249,48	252,12	252,16	251,11	14,7	251,51	24,2	251,84	38,0	252,13	55,0		
Sp82	4,866	249,10	252,33	253,44	251,30	14,7	251,73	24,2	252,14	38,0	252,52	55,0		
Sp83_M	4,889	249,86	253,45	253,47	251,45	14,7	251,99	24,2	252,54	38,0	252,83	55,0		
Sp84	4,907	249,63	252,40	253,24	251,53	11,3	252,15	18,6	252,79	29,1	253,02	42,0		
Sp85	4,958	248,55	251,22	250,98	251,53	11,3	252,15	18,6	252,79	29,1	253,02	42,0		
Sp86	4,988	249,33	250,87	250,98	251,53	11,3	252,15	18,6	252,79	29,1	253,02	42,0		
Sp87	5,126	249,59	251,10	251,47	251,64	11,3	252,20	18,6	252,83	29,1	253,08	42,0		
Sp88	5,333	249,79	251,84	251,60	251,86	11,3	252,26	18,6	252,85	29,1	253,11	42,0		
Sp89	5,404	249,84	252,00	251,80	252,02	11,3	252,34	18,6	252,89	29,1	253,16	42,0		
Sp90	5,517	250,01	252,16	252,22	252,15	11,3	252,40	18,6	252,91	29,1	253,18	42,0		

6.1 Záplavové čáry pro průtoky Q_5 , Q_{20} , Q_{100} a Q_{500}

Z vypočítaných úrovní hladiny v jednotlivých profilech byl interpretován průběh záplavové čáry. Z tohoto znázornění a z průběhu hladin v podélném profilu je patrný rozsah zatápných ploch a objektů. Dále se tímto způsobem zjistí překážky průtoku, které působí patrné vzduť hladiny, jejichž odstraněním nebo rekonstrukcí je možno rozsah zátop redukovat.

Záplavové čáry byly vyneseny na podkladě rastrové Základní mapy ČR v měřítku 1 : 10 000. Zakreslení záplavových čar, zejména mimo zaměřené příčné profily, zahrnuje nepřesnosti použité mapy. Snahou vyliditovat nepřesnosti je užití bodového pole z DMT mimo zaměřené příčné profily. Při posouzení konkrétního místa je tedy rozhodující kóta hladiny odvozená z podélného profilu a skutečná nadmořská výška terénu posuzovaného místa.

Při aplikaci výsledků výpočtu je nutno si uvědomit, že přírodní třírozměrný v čase proměnný děj je popisován stacionárním jednorozměrným matematickým výpočtem s použitím mnoha zjednodušujících předpokladů a odhadů. Přesnost výpočtu je limitována zejména hustotou příčných profilů použitých k výpočtu a odhadem drsnostního součinitele.

Hodnoty úrovně hladin získané interpolací mezi jednotlivými výpočtovými příčnými profily nemusí odpovídat skutečnosti.

Nejsou zde postiženy jevy běžně se vyskytující při povodních - hladina v inundaci nemusí být v jednom příčném profilu stejná jako v korytě, v obloucích dochází k příčnému převýšení hladiny, hladina je rozvlhěná, atd.

Výpočet je proveden pro ideální stav koryta. Není započítáno ucpání průtočného profilu plaveným materiálem, které hrozí zejména v mostních profilech. Vliv na proudění má i sezónní stav vegetačního pokryvu.

Výsledky tohoto výpočtu nejsou neměnné. Může dojít ke změnám vlivem zpřesnění topografických podkladů, změny hydrologických údajů, použitím přesnějších výpočetních modelů, nebo vlivem změn v průtočném profilu vodního toku.

Analýzou průniku maximálního rozlivu (při průtoku Q_{500}) a správních území byly zajištěny informace o dotčených správních území obcí uvedené v následující tabulce.

Tab. č. 6.2 Dotčené správní území obcí maximálním rozlivem

Kód ORP	Název ORP	Kód ICOB	Název obce
5106	Nový Bor	561860	Nový Bor

6.2 Hloubky pro průtoky Q_5 , Q_{20} , Q_{100} a Q_{500}

Určení hloubek pro jednotlivé povodňové scénáře je provedeno v prostředí ArcGIS, jako rozdíl digitálního modelu hladiny a digitálního modelu terénu. Digitální model hladiny byl vytvořen lineární interpolací hladin mezi jednotlivými příčnými profily, které byly převzaty z hydraulického modelu. Výsledkem je rastr hloubek o velikosti pixlu 2 x 2 m. Mapa hloubek se následně ořízne záplavovou čarou pro daný scénář.

6.3 Rychlosti pro průtoky Q_5 , Q_{20} , Q_{100} a Q_{500}

Pro hodnocení rizik vznikly ve studii dva samostatné výstupy vypočtených rychlostí a to vrstva bodová a plošná. Bodová vrstva slouží pro zobrazení v mapě rychlostí jako informace o průměrné celoprofilové rychlosti. Tato informace je však pro hodnocení rizik bezcenná, proto vznikla vrstva plošného rozdělení rychlostí. Ta pak bude použita pro další hodnocení.

6.3.1 Bodová vrstva průměrných celoprofilových rychlostí

Při výpočtu nerovnoměrného proudění byly z výpočetního programu Hydrocheck exportovány pro jednotlivé profily a jednotlivé průtokové epizody průměrné celoprofilové rychlosti. Takto získaná hodnota rychlosti pak byla v GIS přiřazena jako bodová informace průsečíku daného příčného řezu a osy vodního toku. Pro každý profil a

jednu průtokovou epizodu tak byla získána informace o rychlosti, celkem tedy pro každý profil 4 hodnoty rychlosti ($Q_5 - Q_{500}$).

6.3.2 Plošné rozdělení rychlostí v inundaci

Program Hydrocheck pracuje se svislicovými rychlostmi a dokáže do mapy zobrazit rozdělení rychlostí v příčném řezu. Pokud umístění a hustota příčných řezů dostatečně popisuje záplavové území, lze poměrně přesně určit i plošné rozdělení rychlostí v inundaci zvláště, když je při posuzování k dispozici mapa hloubek. Plošné rozdělení rychlostí vychází z těchto předpokladů:

- nezajímá nás rychlost v korytě, ale pouze v inundaci
- pro hodnocení rizik nás nezajímá rychlost menší než 1 m/s
- rychlost je rozdělena po 0,5 m/s na kategorie 1,0 až 1,5 - 1,5 až 2,0 atd.

Na základě těchto předpokladů byly nad mapou vykresleny polygony rychlostí větších než 1 m/s. Tato plošná vrstva je podkladem pro další hodnocení rizik.

6.4 Zhodnocení nejistot ve výsledcích výpočtů

Jak bylo uvedeno výše, výpočetní model 1D je vždy schematizací skutečnosti. Hlavní míra nejistoty však neplyne ze špatného odhadu drsnostních charakteristik, nebo nedostatečně popsané topologie území a koryta, ale ze vstupních průtokových dat, jejichž přesnost je nezřídka v rozmezí $\pm 40 - 60\%$ dle uvedené třídy přesnosti. Dalším již zmíněným faktorem, s nímž model nepočítá, je množství plavenin, které postupují vodním tokem při povodni, ať už se jedná například o ledové kry nebo antropogenní materiál či dřevní hmotu. Tyto plaveniny, pak zejména v prostoru objektů mohou způsobit naprosto převratné změny průtočného profilu (částečné nebo úplné ucpání), které pak mají na průběh hladiny zásadní vliv.

Pokud však odhlédneme od nejistot způsobených nepřesnými hydrologickými daty a budeme vztahovat rozsah záplavového území ke konkrétnímu průtoku (a nikoliv k deklarované četnosti povodně) a budeme postupovat v souladu s Metodikou stanovení ZÚ, tedy výpočet bez plavenin, můžeme konstatovat, že vypovídací schopnost modelu je značně vysoká. Největší ovlivnění hladin nastává v místech objektů, jejichž nesprávné posouzení, či špatně provedený výpočet ve vztahu k zatopení dolní vodou, má na úroveň hladiny zásadní vliv. Poměrně významné je i ovlivnění výpočtu chybně umístěnými dílčími profily v příčném řezu, naopak chybný odhad drsnosti byť v řádu desítek procent se ve volné trati dramaticky neprojeví.